

МНОГОКРАТНОЕ СТИМУЛИРОВАННОЕ СВЕТОВОЕ ЭХО В НЕОРГАНИЧЕСКИХ КРИСТАЛЛАХ, ОБУСЛОВЛЕННОЕ СВЕРХТОНКОЙ СТРУКТУРОЙ

Н. Н. Ахмедиев, И. В. Мельников

В работах [1-3] рассматривалась возможность применения сравнительно недавно открытого [4, 5] явления долгоживущего стимулированного светового эха (ДСЭ) в оптических запоминающих устройствах. В частности, рассматривался вопрос о многократном считывании информации, записанной первыми двумя импульсами [6, 7]. Было показано [6], что для органических молекул в твердой матрице каждый считывающий импульс приводит к ослаблению сигнала эха на величину, зависящую от времен релаксации и площадей импульсов, причем эту величину можно сделать близкой к единице соответствующим выбором материала среды или интенсивности считывающих импульсов. Указывалось также [7], что для некоторых многоуровневых систем этот коэффициент можно сделать в точности равным единице. Однако вопрос о возможности многократного считывания информации в неорганических кристаллах, где впервые наблюдалось само явление ДСЭ [4, 5], до сих пор оставался открытым.

В данной работе на основе аналитических расчетов найдена величина поля сигналов многократного стимулированного светового эха (МСЭ) в ансамбле двухуровневых систем, основное и возбужденное состояния которых расщеплены из-за сверхтонкого взаимодействия. Мы ограничили наше рассмотрение простейшими ситуациями расщепления на два и три подуровня. Первая имеет место, например, в кристаллах рубина, обогащенного изотопом Cr^{53} [8, 9]. Расщепление оптических состояний на три подуровня имеет место в кристалле $\text{LaF}_3 : \text{Pr}^{3+}$.

Схема энергетических уровней, рассматриваемая нами, изображена на рисунке, а, б. Сплошными стрелками указаны разрешенные переходы, волнистыми — релаксационные процессы, $k_{i,j}$ — соответствующие скорости, причем предполагается, что релаксация между подуровнями как основного, так и возбужденного состояний протекает значительно медленнее релаксации между оптическими уровнями. Следствием этого и является эффект ДСЭ. По этой же причине мы пренебрегаем релаксацией между подуровнями возбужденного состояния.

Расчеты макроскопических дипольных моментов, наведенных в рассматриваемых средах на частоте ω_0 , проводились нами в тех же приближениях и для той же последовательности оптических импульсов и сигналов эха, что и в работе [6], на основе методики, изложенной в [10]. Тогда выражение для поля сигнала МСЭ в дальней зоне после воздействия N -го импульса имеет вид

$$E_{S_N} = E_0 \mathbf{p}_{k_N} \exp(-\Gamma t_{2N}) [\sin \theta_2^{(1)} \sin \theta_1^{(1)} ((1 + \gamma_1) \Phi \exp(-i\Delta_1(t' - \tau)) + (1 + \gamma_1) \times \\ \times F \exp(i\Delta_2 t' - i\Delta_1 \tau) \rho_{11}(0) - (\gamma_0 - \gamma_2) \sin \theta_2^{(2)} \sin \theta_1^{(2)} (\Phi \exp(-i\Delta_2(t' - \tau)) + \\ + F \exp(i\Delta_1 t' - i\Delta_2 \tau) \rho_{33}(0))] \exp(i\omega_0 t - i\mathbf{k}_{S_N} \mathbf{r}), \quad (1)$$

где

$$\kappa_N = \prod_{j=3}^{N-1} \{ [(1 - \gamma_1) + (1 + \gamma_1) \cos \theta_j^{(1)}] + [(\gamma_0 + \gamma_2) + (\gamma_0 - \gamma_2) \cos \theta_j^{(2)}] / 2(1 + \gamma_0) \},$$

E_0 — коэффициент, зависящий от размеров образца, концентрации ионов в кристаллической матрице и длины волны излучения; $\Delta_i = \omega_0 - \omega_i$ — отстройка от резонанса,

$$\Phi = \exp[-\pi(t' - \tau)^2 / (2T_2^*)^2]$$

— гауссов форм-фактор,

$$F = \exp[-\pi t'^2 / (2T_2^*)^2], \quad \Gamma = k_{31} + k_{13}, \quad \gamma_0 = k_{31}/k_{13}, \quad \gamma_1 = (\gamma_0 k_{23} - k_{21}) / (k_{21} + k_{23} - 1), \\ \gamma_2 = (\gamma_0 k_{43} - k_{41}) / (k_{43} + k_{41} - \Gamma), \quad \mathbf{p} = (\mathbf{d}_1 \sin \theta_N^{(1)} - \mathbf{d}_2 \sin \theta_N^{(2)}),$$

а

б

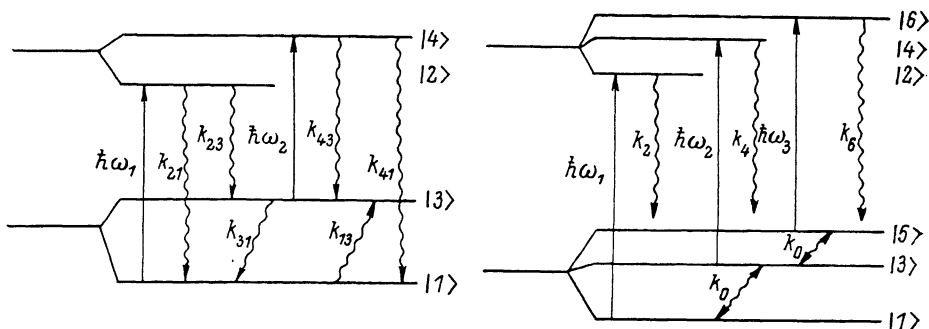


Схема энергетических уровней, используемая в расчетах, и соответствующие процессы релаксации.

\mathbf{d}_1 и \mathbf{d}_2 — дипольные моменты переходов $|1\rangle \rightarrow |2\rangle$ и $|3\rangle \rightarrow |4\rangle$ соответственно

$$\theta_j^{(i)} = (d_i \epsilon_j \hbar^{-1} (\Delta t)_j)$$

— «площадь» j -го импульса. Интегрирование по объему образца дает условие пространственного синхронизма

$$\mathbf{k}_{SN} = -\mathbf{k}_1 + \mathbf{k}_2 + \mathbf{k}_N. \quad (2)$$

Пользуясь формулой (1), легко перейти к выражению для интенсивности сигнала, которое мы опустим из-за его громоздкости.

Из формулы (1) видно, что помимо обычного экспоненциального ослабления сигналов эха во времени $\sim \exp(-\Gamma t)$, вызванного релаксацией, каждый импульс, начиная с третьего, уменьшает сигнал последующего МСЭ на множитель

$$\kappa_j = \{ [(1 - \gamma_1) + (1 + \gamma_1) \cos \theta_j^{(1)}] + [(\gamma_0 + \gamma_2) + (\gamma_0 - \gamma_2) \cos \theta_j^{(2)}] / 2(1 + \gamma_0) \}^{-1}. \quad (3)$$

Проанализируем это выражение. При малых «площадах» считывающих импульсов $\cos \theta_j^{(i)} \approx 1$ и коэффициент $\kappa_j \approx 1$. Этот случай является типичным для экспериментов, считывание можно производить многократно. Например, при $\theta_j \approx 10^{-2}$ оценки, выполненные по формулам (1), (3), показывают, что можно наблюдать 10^4 сигналов МСЭ, прежде чем их интенсивность упадет в 2 раза.

Для более полного анализа несколько упростим формулу (3). Положим

$$k_{41} = k_{23} = k_{\perp}, \quad k_{43} = k_{21} = k_{\parallel}, \quad \gamma_0 = 1, \quad \theta_j^{(1)} = \theta_j^{(2)},$$

причем $k_{31} \ll k_{\parallel, \perp}$. Если, кроме того, положить $\alpha = k_{\perp}/k_{\parallel}$, то для коэффициента κ_j получим

$$\kappa_j = (1 + \alpha \cos \theta_j) / (1 + \alpha). \quad (4)$$

Из формулы (4) видно, что если использовать для считывания $\pi/2$ -импульсы или близкие к ним, то сигналы МСЭ будут сильно зависеть от соотношения между временами релаксации. Для простоты положим $k_{43}^{-1} = k_{21}^{-1} = 10$ нс, $k_{41}^{-1} = k_{23}^{-1} = 100$ нс, $\gamma_0 = 1$. В этом случае имеем $x_j = 0.9$. С ростом отношения k_i/k_l множитель x_j также стремится к единице.

Отметим также, что амплитуда сигнала МСЭ зависит от интервала τ между первым и вторым импульсами по гармоническому закону $\sim \exp(i\Delta_k t' - i\Delta_l \tau)$. Следовательно, при использовании эффекта МСЭ в оптических запоминающих устройствах необходим оптимальный выбор времени задержки τ .

В случае, когда имеет место расщепление на три подуровня (например, в кристалле LaF_3 : Pr^{3+} ; см. рисунок, б), вычисления оказываются более сложными. Введем следующие упрощающие предположения: 1) скорость распада i -го подуровня ($i=2, 4, 6$) возбужденного состояния k_{ij} равна $\alpha_0 k_i$ при $i=j$, $\alpha_1 k_i$ при $j=i\pm 1$, и $\alpha_2 k_i$ при $j=i\pm 2$; 2) релаксация между подуровнями основного состояния происходит с постоянной скоростью k_0 . Расчет, проведенный в этих предположениях, дает следующее значение поля N -го сигнала МСЭ в дальней зоне:

$$E_{S_N} = E_0 \exp(i\omega_0 t - ik_{S_N} r) \left(\frac{1}{2} \mathbf{p}_1 x_N \exp(-k_0 t_{2N}) \right) [(1 - \beta_1) \sin \theta_2^{(1)} \sin \theta_1^{(1)} \rho_{11}(0) \times \\ \times (\Phi \exp(-i\Delta_1(t' - \tau)) + F(\exp(i\Delta_3 t' - i\Delta_1 \tau)) - (1 - \beta_3) \sin \theta_2^{(3)} \sin \theta_1^{(3)} \rho_{55}(0) \times \\ \times \exp(-i\Delta_3(t' - \tau)) + F(\exp(i\Delta_1 t' - i\Delta_3 \tau))] + \frac{1}{6} \mathbf{p}_2 \chi_N \exp(-3k_0 t_{2N}) \times \\ \times [(1 + \beta_1 - \gamma_1) \sin \theta_2^{(1)} \sin \theta_1^{(1)} \rho_{11}(0) (\Phi \exp(-i\Delta_1(t' - \tau)) + F(\exp(i\Delta_2 t' - i\Delta_1 \tau) + \\ + \exp(i\Delta_3 t' - i\Delta_1 \tau))) - 2\gamma_2 \sin \theta_2^{(2)} \sin \theta_1^{(2)} \rho_{33}(0) (\Phi \exp(-i\Delta_2(t' - \tau)) + F(\exp(i\Delta_1 t' - i\Delta_2 \tau) + \\ \times \exp(i\Delta_3 t' - i\Delta_2 \tau))) + (1 - \beta_3 - \gamma_3) \sin \theta_2^{(3)} \sin \theta_1^{(3)} \rho_{55}(0) \times \\ \times (\Phi \exp(-i\Delta_3(t' - \tau)) + F(\exp(i\Delta_1 t' - i\Delta_3 \tau) + \exp(i\Delta_2 t' - i\Delta_3 \tau)))]), \quad (5)$$

где

$$\mathbf{p}_1 = \mathbf{d}_1 \sin \theta_N^{(1)} - \mathbf{d}_3 \sin \theta_N^{(3)}, \quad \mathbf{p}_2 = \mathbf{d}_1 \sin \theta_N^{(1)} - 2\mathbf{d}_2 \sin \theta_N^{(2)} + \mathbf{d}_3 \sin \theta_N^{(3)}, \\ \beta_1 = k_2(\alpha_0 - \alpha_2)/(k_2 - k_0), \quad \beta_2 = k_6(\alpha_0 - \alpha_2)/(k_6 - k_0), \quad \gamma_1 = (\alpha_0 k_2 - (\beta_1 + 1) \times \\ \times k_0)/(k_2 - 3k_0), \quad \gamma_2 = (\alpha_1 k_4 - k_0)/(k_4 - 3k), \quad \gamma_3 = (\alpha_2 k_6 + (\beta_3 - 1) k_0)/(k_6 - 3k_0).$$

Условие пространственного синхронизма (2) остается неизменным.

Подобно рассмотренному выше случаю сверхтонкого расщепления на два подуровня из (5) следует, что зависимость амплитуд сигналов МСЭ от интервала между первым и вторым импульсами будет иметь осциллирующий характер со сложным составом гармоник.

В формулу (5) входят два слагаемых, описывающих долгоживущее эхо с различными временами жизни k_0^{-1} и $(3k_0)^{-1}$. В каждом из этих слагаемых присутствует множитель (x_N и χ_N соответственно), описывающий ослабление сигнала, обусловленное действием считывающих импульсов

$$x_N = \prod_{j=3}^{N-1} \left(\left[\frac{1}{2} (1 + \beta_1) + \frac{1}{2} (1 - \beta_1) \cos \theta_j^{(1)} \right] + \right. \\ \left. + \left[\frac{1}{2} (1 + \beta_3) + \frac{1}{2} (1 - \beta_3) \cos \theta_j^{(3)} \right] \right) / 2, \quad (6)$$

$$\chi_N = \prod_{j=3}^{N-1} \left(\left[-\left(\frac{1}{2} + \frac{3}{2} \beta_1 - 3\gamma_1 \right) + 3 \left(\frac{1}{2} + \frac{1}{2} \beta_1 - \gamma_1 \right) \cos \theta_j^{(1)} \right] + [3\gamma_2 + \right. \\ \left. + (2 - 3\gamma_2) \cos \theta_j^{(2)}] + \left[-\left(\frac{1}{2} - \frac{3}{2} \beta_3 - 3\gamma_3 \right) + 3 \left(\frac{1}{2} - \frac{1}{2} \beta_3 - \gamma_3 \right) \cos \theta_j^{(3)} \right] \right) / 4. \quad (7)$$

При малых «площадях» считывающих импульсов $\cos \theta_j^{(i)} \approx 1$ и коэффициенты x_j и χ_j близки к единице, так что ослабление сигналов мало. Следовательно, затухание эхо-сигналов во времени будет определяться только процессами релаксации и реализация режима МСЭ возможна в типичных экспериментальных условиях.

Если $k_2=k_4=k_6=k$, $\theta_j^{(i)}=\theta_j$, $k_0 \ll \alpha_0 k$, $\alpha_1 k$, $\alpha_2 k$, то формулы (6)–(7) упрощаются и сводятся к следующим:

$$\kappa_j = (1 + \beta)/2 + (1 - \beta) \cos \theta_j/2, \quad (8)$$

$$\chi_j = (1 + \cos \theta_j/2)/4. \quad (9)$$

Из этих формул видно, что при $\theta_j=\pi/2$ коэффициент κ_j определяется отношениями вероятностей заселения сверхтонких подуровней основного состояния α_0 и α_2 , а коэффициент χ_j не зависит от них и близок к $1/3$ κ_j при $\alpha_1=0.1$ и $\alpha_2=0.01$.

Отметим, что коэффициент κ является множителем при слагаемом с большим временем жизни, поэтому именно он определяет ослабление сигналов эха.

Таким образом, явление МСЭ в неорганических кристаллах с парамагнитными примесями состоит в записи информации двумя импульсами с временным интервалом τ между ними с возможностью многократного считывания ее третьим и последующими импульсами, причем реально допустима оптимизация параметров считывающих импульсов и среды, так чтобы стирание информации в процессе считывания было минимальным.

Литература

- [1] Манькин Э. А., Самарцев В. В. Оптическая эхо-спектроскопия. М.: Наука, 1984, с. 270.
- [2] Ахмедиев Н. Н., Борисов Б. С., Зуйков В. А. и др. Изв. АН СССР. Сер. физ., 1986, т. 50, № 8, с. 1488–1494.
- [3] Ахмедиев Н. Н., Борисов Б. С., Кокин А. А., Самарцев В. В. Электронная промышл., 1984, № 9, с. 56–61.
- [4] Chen Y. C., Chiang K., Hartmann S. R. Optics Commun., 1979, v. 29, N 2, p. 181–185.
- [5] Morsink J. B. W., Wiersma D. A. Chem. Phys. Lett., 1979, v. 65, N 1, p. 105–108.
- [6] Ахмедиев Н. Н., Борисов Б. С. Письма в ЖТФ, 1985, т. 11, № 9, с. 533–536.
- [7] Ахмедиев Н. Н., Борисов Б. С. Микроэлектроника, 1986, т. 15, в. 1, с. 25–30.
- [8] Гешвинд С. В кн.: Сверхтонкие взаимодействия в твердых телах. М.: Мир, 1970, с. 103–162.
- [9] Карлов Н. В., Маненков А. А. Квантовые усилители. М.: ВИНТИ, 1966, с. 334.
- [10] Morsink J. B. W., Hesselink W. H., Wiersma D. A. Chem. Phys., 1982, v. 71, N 2, p. 289–294.

Поступило в Редакцию
29 января 1987 г.